



**الامتحان الوطني الموحد للبكالوريا  
الدورة العادلة 2019  
- الموضوع -**

السلطنة  
وزارة التربية والتعليم  
والتكنولوجيا المعاصرة  
والعلوم الطبيعية والرياضيات



المركز الوطني للنقويم والامتحانات والتوجيه

NS34

|   |            |  |                  |
|---|------------|--|------------------|
| 3 | مدة الاجاز | علوم الحياة والأرض                             | المادة           |
| 5 | المعامل    | شعبة العلوم التجريبية : مسلك العلوم الفيزيائية | الشعبة أو المسلك |

يسمح باستعمال الآلة الحاسبة غير القابلة للبرمجة

**المكون الأول: استرداد المعرف (5 نقاط)**

I. عرف(ي) المصطلحين الآتيين: - التراكب - موشور التضخم (1 ن)

II. يوجد اقتراح صحيح بالنسبة لكل معطى من المعطيات المرقمة من 1 إلى 4. أُنْقل(ي) الأزواج (1 ، ...); (2 ، ...); (3 ، ...); (4 ، ...) على ورقة تحريرك، ثم أكتب(ي) داخل كل زوج الحرف المقابل لاقتراح الصحيح. (2 ن)

|                                    |   |
|------------------------------------|---|
| 2 - تتميز صخارة الغواص ببنية:      | 1- يؤدي تبريد الصهارة على السطح في مناطق الطرmer إلى تشكيل صخرة:<br>أ. محبيّة؛<br>ب. مورفة؛<br>ج. ميكروليتية؛<br>د. شيسنتية.                                      |
| 4 - تشكلت سلسلة جبال عمان على إثر: | 3 - تتميز مناطق الطرmer بـ:<br>أ. ضغط ودرجة حرارة مرتفعين؛<br>ب. ضغط منخفض ودرجة حرارة مرتفعة؛<br>ج. ضغط مرتفع ودرجة حرارة منخفضة؛<br>د. ضغط ودرجة حرارة منخفضين. |

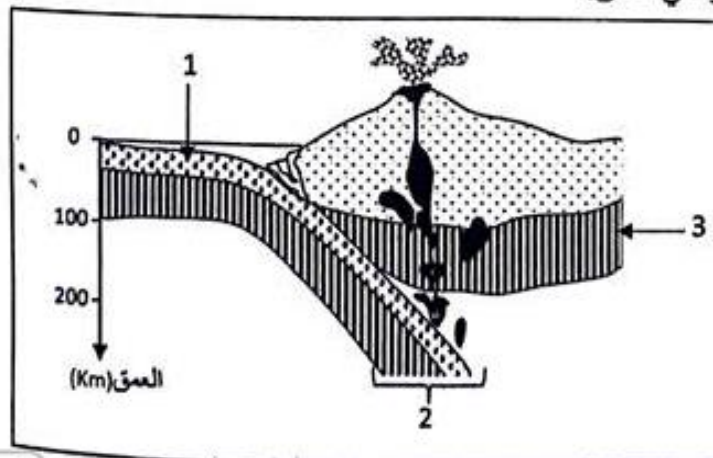
III. أُنْقل(ي) على ورقة تحريرك، الرقم المقابل لكل اقتراح من الاقتراحات الآتية، ثم أكتب(ي) أمامه صحيح أو خطأ. (1 ن)

1- الطيات و النوازل المعاكسة تشوّهات تكتونية تميز مناطق تباعد صفات الغلاف الصخري.

2- تتميز مناطق الطرمر بشذوذات حرارية مبالغة.

3- يتميز المركب الأفيوليتي بتركيب صخري مشابه لتركيب الغلاف الصخري المحيطي.

4- الأندرزيت صخارة صهارية ناتجة عن تبريد وتصلب صهارة في العمق.



IV. تمثل الوثيقة جانبه رسمًا تخطيطيًّا لمنطقة تقارب صفيحتين صخريتين.

اعط (ي) اسم الظاهرة الممثلة في الوثيقة، وأسماء العناصر 1 و 2 و 3. (1 ن)



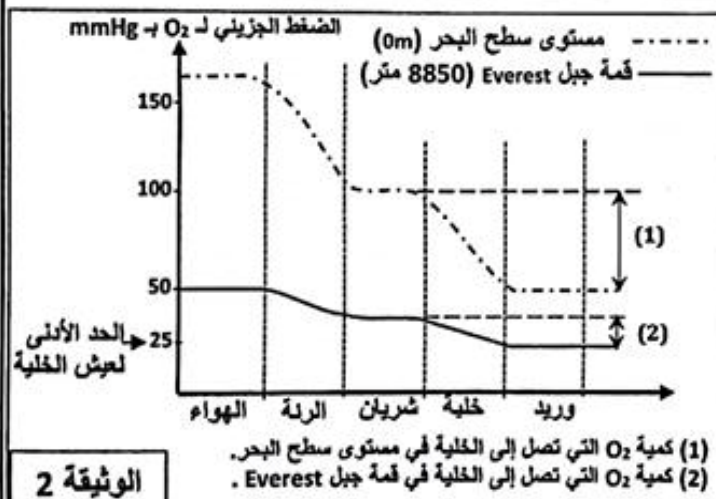
## المكون الثاني: الاستدلال العلمي والتواصل الكتابي والبصري (15 نقطة)

## التمرين الأول: (5 نقط)

قصد دراسة العلاقة بين التفاعلات المسؤولة عن استهلاك ثاني الأوكسجين وتحرير الطاقة في مستوى العضلة، فتتضح المعطيات الآتية:

يلاحظ تدني المردود البدني عند الرياضيين الممارسين في مناطق منخفضة خلال مشاركتهم في المنافسات الرياضية بمناطق مرتفعة، بحثاً عن أسباب هذا التدني في المردود البدني، أنجزت دراسة لتتبع تغير الرقم القياسي للماراطون حسب الارتفاع عن سطح البحر. يبين جدول الوثيقة 1 النتائج المحسوبة.

| ماراطون لبارز (بوليفيا) | ماراطون مكسيكو (المكسيك) | ماراطون كولورادو (الولايات المتحدة الأمريكية) | ماراطون الرباط (المغرب) | الوثيقة 1                                |
|-------------------------|--------------------------|---|-------------------------|--|
| 3658                    | 2240                     | 1823  | 29                      | الارتفاع عن سطح البحر بـ m               |
| 97                      | 110                      | 125   | 159                     | الضغط الجزيئي لـ $O_2$ في الهواء بـ mmHg |
| 2h :26min : 00s         | 2h :19min : 24s          | 2h :18min : 06s                               | 2h :10min : 36s         | الرقم القياسي المسجل                     |

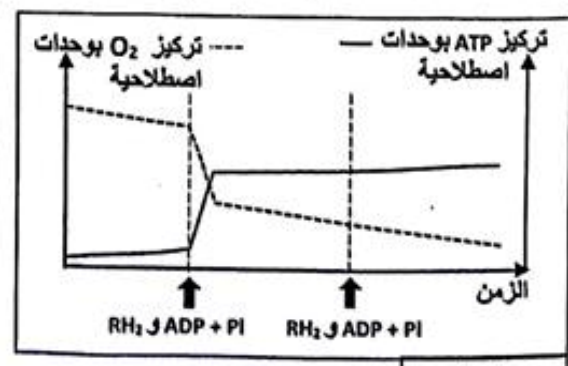
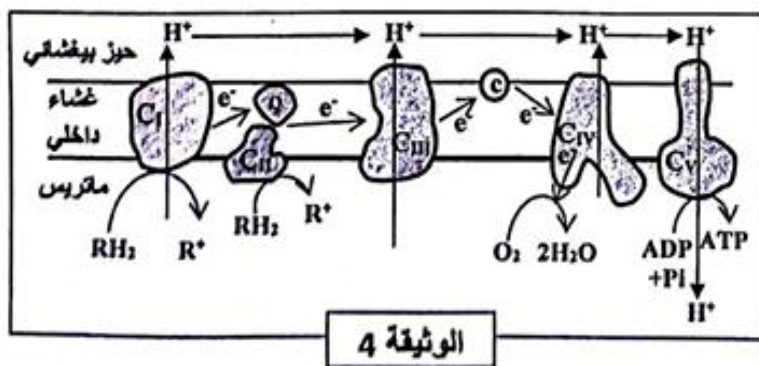


1. اعتماداً على الوثيقة 1، صفا(ي) تغير الرقم القياسي المسجل في مسابقات الماراطون حسب الارتفاع عن سطح البحر. (0.5 ن)

لتوسيع علاقة الارتفاع عن سطح البحر بتدني المردود البدني عند عدائى الماراطون، نقدم الوثيقة 2 التي تبرز تأثير الارتفاع على كمية ثاني الأوكسجين التي تصل إلى خلايا الجسم.

2. اعتماداً على معطيات الوثائقين 1 و 2 اقترح(ي) فرضية لتفسير العلاقة بين الارتفاع عن سطح البحر وتدني المردود البدني عند عدائى الماراطون. (0.5 ن)

للكشف عن دور ثاني الأوكسجين في التفاعلات التنفسية المسؤولة عن إنتاج الطاقة الخلوية (ATP) أنجزت التجربة الآتية: تم وضع عالق من الميتوكوندريات في وسط غني بثاني الأوكسجين مع إضافة مركبات مختزلة ( $RH_2$ ) و ADP و Pi. يمكن تتبع تطور كمية ثاني الأوكسجين و كمية ATP في الوسط من تسجيل النتائج المبينة في الوثيقة 3. وتبيّن الوثيقة 4 السلسلة التنفسية المسؤولة عن إنتاج ATP على مستوى الغشاء الداخلي للميتوكوندري.



3. باستغلال الوثقتين 3 و 4 بين (ي) العلاقة بين ثاني الأوكسجين وإنتاج الطاقة الخلوية (ATP). (1.25 ن)  
 4. اعتماداً على ما سبق تتحقق (ي) من الفرضية المقترنة إجابةً عن السؤال 2. (0.75 ن)

لتجاوز تدني المردود البدني عند الرياضيين خلال مشاركتهم في منافسات رياضية بمناطق مرتفعة عن سطح البحر، يجري المعد البدني تمارين بمناطق مرتفعة لمدة ثلاثة أسابيع قبل انطلاق المنافسات. تقدم الوثيقة 5 نتائج تحاليل أجريت عند عداء قبل وبعد إجراء هذه التمارين في منطقة لاباز ببوليفيا.

| بعد إجراء التمارين في<br>منطقة لاباز ببوليفيا | قبل إجراء التمارين في<br>منطقة لاباز ببوليفيا | المتغيرات                                       |
|---|---|---|
| $5.17 \cdot 10^6$                             | $4.58 \cdot 10^6$                             | عدد الكريات الحمراء في كل $\text{mm}^3$ من الدم |
| 8400  | 7400  | عدد الكريات البيضاء في كل $\text{mm}^3$ من الدم |
| 15.9g   | 13.5g   | كمية الخضاب الدموي في كل 100ml من الدم          |

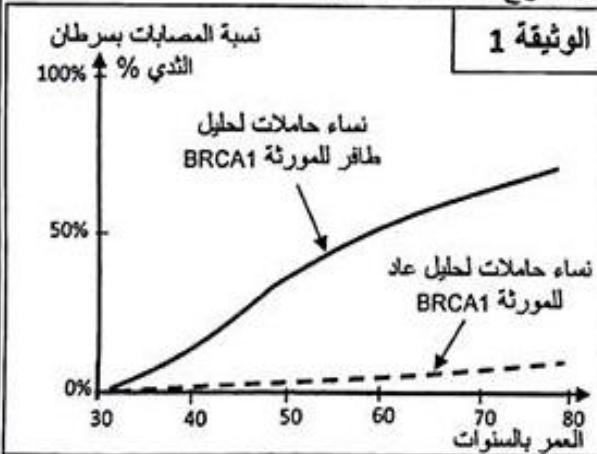
ملحوظة: الخضاب الدموي بروتين يوجد في الكريات الحمراء، ويُلعب دوراً هاماً في نقل ثاني الأوكسجين إلى خلايا الجسم.

### الوثيقة 5

5. أ- قارن (ي) المتغيرات المبينة في الوثيقة 5 عند العداء قبل وبعد إجراء التمارين في منطقة لاباز ببوليفيا. (0.5 ن)  
 5. ب- اعتماداً على مكتسباتك والمعطيات السابقة فسر (ي) تأثير ممارسة التمارين الرياضية في المناطق المرتفعة على المردود البدني للعدائيين. (1.5 ن)

### التمرين الثاني: (2.5 ن)

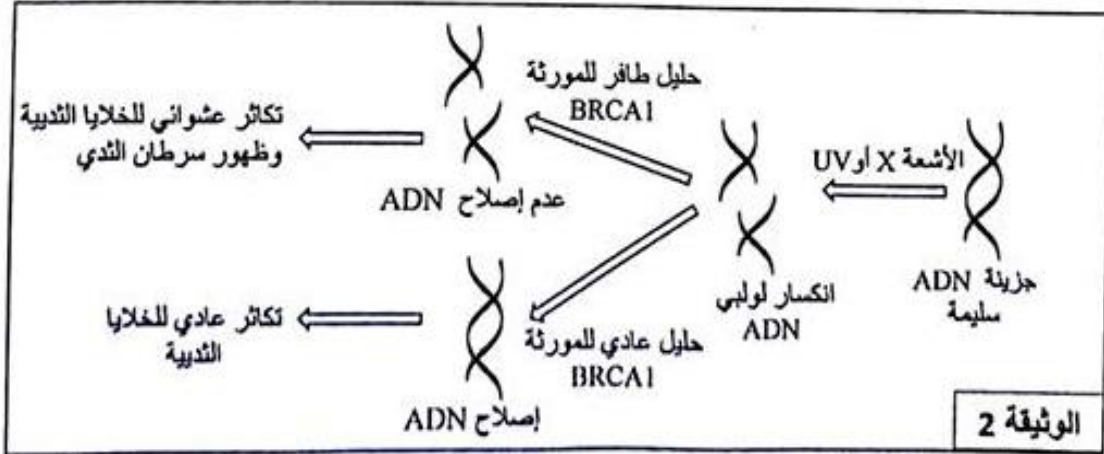
تعد الطفرات من أسباب السرطان عند الإنسان، ويقدر الباحثون أن حوالي 5% إلى 10% من حالات السرطان ذات أصل وراثي. لإبراز الأصل الوراثي لبعض حالات سرطان الثدي عند النساء نقترح المعطيات الآتية:



تم الكشف عن وجود علاقة بين المورثة BRCA1 المحمولة على الصبغى 17 وسرطان الثدي عند النساء. تقدم الوثيقة 1 تطور نسبة الإصابة بسرطان الثدي حسب العمر عند نساء حاملات لتحليل عادي ونساء حاملات لتحليل طافر للمورثة BRCA1.

1. قارن (ي) نسبة الإصابة بسرطان الثدي لدى النساء (الوثيقة 1) مبرزاً (ه) علاقة المورثة BRCA1 بهذا المرض. (0.5 ن)

تحكم المورثة BRCA1 في تركيب بروتين "BRCA1" الذي يتدخل في إصلاح ADN. تقدم الوثيقة 2 تفاصيلاً لكيفية إصابة النساء بسرطان الثدي نتيجة تعرضهن للأشعة فوق البنفسجية والأشعة X.





2. اعتماداً على الوثيقة 2 فسر(ي) تطور نسبة الإصابة بسرطان الثدي المسجلة في الوثيقة 1 عند النساء الحاملات للحليط الطافر للمورثة BRCA1. (0.5 ن)

تقدم الوثيقة 3 جزءاً من الخليط القابل للنسخ لكل من الحليط العادي والطافر للمورثة المسؤولة عن تركيب بروتين "BRCA1"، وتعطي الوثيقة 4 جدول الرمز الوراثي.

368 369 370 371 372 373 374 375  
CTT CTA CAA GGA ACC TAT TGT GAT TT ..

أرقام الثلاثيات:  
جزء من الحليط العادي : BRCA1

CTT CTA CAA GGA ACC TAT TTG ATT T..

جزء من الحليط الطافر : BRCA1

→ منحي القراءة

الوثيقة 3

| الحرف 1 \ الحرف 2 | U   |     | C   |     | A   |        | G   |      | الحرف 3 |
|-------------------|-----|-----|-----|-----|-----|--------|-----|------|---------|
| U                 | UUU | Phe | UCU | Ser | UAU | Tyr    | UGU | Cys  | U       |
|                   | UUC |     | UCC |     | UAC | UGC    | UGC |      | C       |
|                   | UUA | Leu | UCA |     | UAA | STOP   | UGA | STOP | A       |
|                   | UUG |     | UCG |     | UAG |        | UGG | Trp  | G       |
| C                 | CUU | Leu | CCU | Pro | CAU | His    | CGU | Arg  | U       |
|                   | CUC |     | CCC |     | CAC |        | CGC |      | C       |
|                   | CUA |     | CCA |     | CAA | Gln    | CGA |      | A       |
|                   | CUG |     | CCG |     | CAG |        | CGG |      | G       |
| A                 | AUU | Ile | ACU | Thr | AAU | Asn    | AGU | Ser  | U       |
|                   | AUC |     | ACC |     | AAC |        | AGC |      | C       |
|                   | AUA |     | ACA |     | AAA | Lys    | AGA |      | A       |
|                   | AUG |     | ACG |     | AAG |        | AGG |      | G       |
| G                 | GUU | Val | GCU | Ala | GAU | Ac.asp | GGU | Gly  | U       |
|                   | GUC |     | GCC |     | GAC |        | GGC |      | C       |
|                   | GUA |     | GCA |     | GAA | Ac.glu | GGA |      | A       |
|                   | GUG |     | GCG |     | GAG |        | GGG |      | G       |

الوثيقة 4

3. اعتماداً على معطيات الوثائقين 3 و4، أعط(ي) متالية الأحماض الأمينية لبروتين "BRCA1" المقابلة للحليط العادي واللحليط الطافر. (0.5 ن)

4. انطلاقاً مما سبق فسر(ي) الأصل الوراثي لسرطان الثدي عند النساء. (1 ن)

### التمرين الثالث: (2.5 ن)

تتميز بعض نباتات الكتان بمقاومتها لسلالتين من الفطريات، الفطريات من السلالة  $C_{24}$  والفطريات من السلالة  $C_{22}$  لهم كافية انتقال صفتين وراثيتين عند هذا النبات أنجذب التزاوجات الآتية:

- التزاوج الأول: بين سلالتين نقيتين من نبات الكتان، السلالة "770B" مقاومة للفطر  $C_{24}$  وحساسة للفطر  $C_{22}$  والسلالة "Bombay" حساسة للفطر  $C_{24}$  ومقاومة للفطر  $C_{22}$ ، أعطى هذا التزاوج جيلاً  $F_1$  جميع أفراده مقاومون للفطريين  $C_{24}$  و  $C_{22}$ .

- التزاوج الثاني: بين أفراد الجيل  $F_1$  فيما بينها، أعطى جيلاً ثانياً  $F_2$  يتكون من:

- 110 نبتة كتان مقاومة للفطر  $C_{24}$  ومقاومة للفطر  $C_{22}$  وحساسة للفطر  $C_{22}$
- 37 نبتة كتان حساسة للفطر  $C_{24}$  ومقاومة للفطر  $C_{22}$
- 11 نبتة كتان حساسة للفطر  $C_{24}$  ومقاومة للفطر  $C_{22}$
- 36 نبتة كتان حساسة للفطر  $C_{24}$  ومقاومة للفطر  $C_{22}$



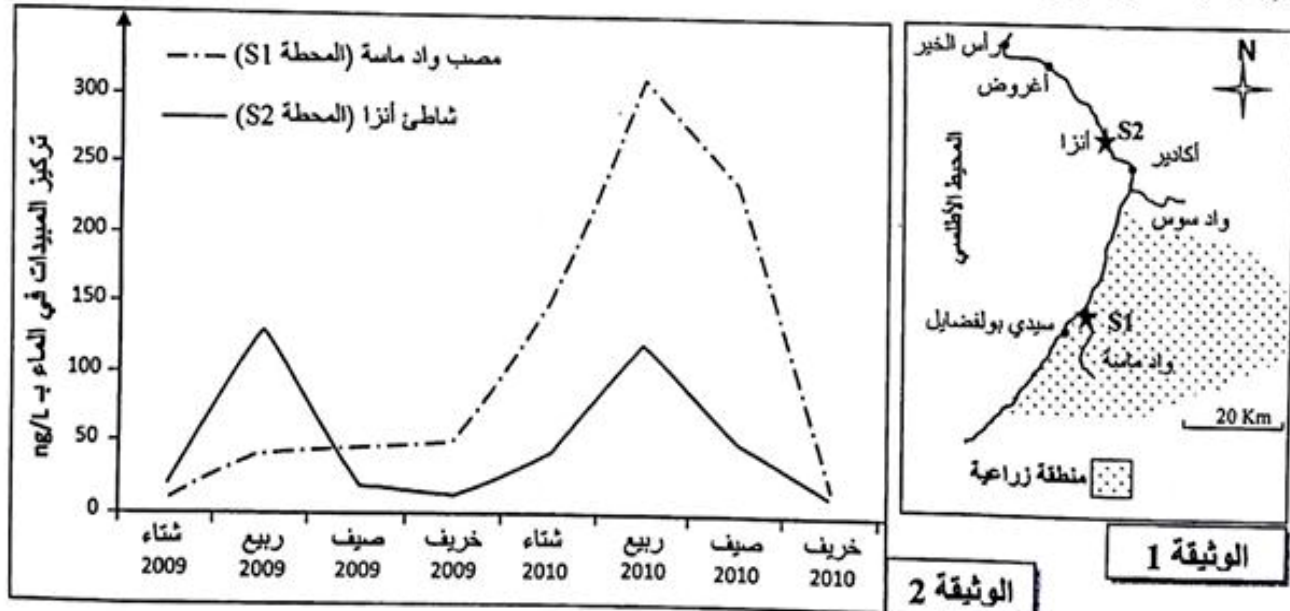
1. باعتمادك على نتائج التزاوجين الأول والثاني، حدد(ي) كيفية انتقال الصفتين الوراثيتين المدرستين. (0.75 ن).  
 (أرمز (ي) للحليل المسؤول عن مقاومة الفطر  $C_{24}$  و  $R$  ، والحليل المسؤول عن مقاومة الفطر  $C_{22}$  بـ D أو d ).
2. أعط (ي) التفسير الصبغي لنتائج التزاوج الثاني مع إنجازك لشبكة التزاوج. (1.25 ن)
- التزاوج الثالث:** بين نبتة كتان ثنائية التنحى ونبتة كتان من الجيل  $F_2$  مقاومة للفطريين  $C_{24}$  و  $C_{22}$  ، أعطى هذا التزاوج جيلا يتكون من:  
 - 48 نبتة كتان مقاومة للفطر  $C_{24}$  و مقاومة للفطر  $C_{22}$  ،  
 - 50 نبتة كتان مقاومة للفطر  $C_{24}$  و مقاومة للفطر  $C_{22}$  . (0.5 ن)

#### التمرين الرابع: (5 ن)

عرف خليج أكادير المُطل على سهل سوس بجنوب المغرب تطوراً مهماً وسريعاً لزراعات حديثة موجهة للتصنيع. رافق هذا التطور استعمال مكثف للمبيدات من أجل حماية المزروعات والرفع من المردود الزراعي، غير أن استعمال هذه المبيدات أحق ضرراً بالبيئة وصحة الإنسان.

قصد تقييم درجة التلوث بالمبيدات المستعملة في المجال الزراعي بخليج أكادير، أجرز باحثون مجموعة من التحاليل الكيميائية على عينات من المياه أخذت من المحطتين S1 و S2 (الوثيقة 1)، وذلك على امتداد سنوي 2009 و 2010. يوضح مبيان الوثيقة 2 النتائج المحصلة.

**ملحوظة:** عرف سهل سوس سنة 2010 نشاطاً فلاحيّاً مكثفاً بفضل التساقطات المطرية المهمة.

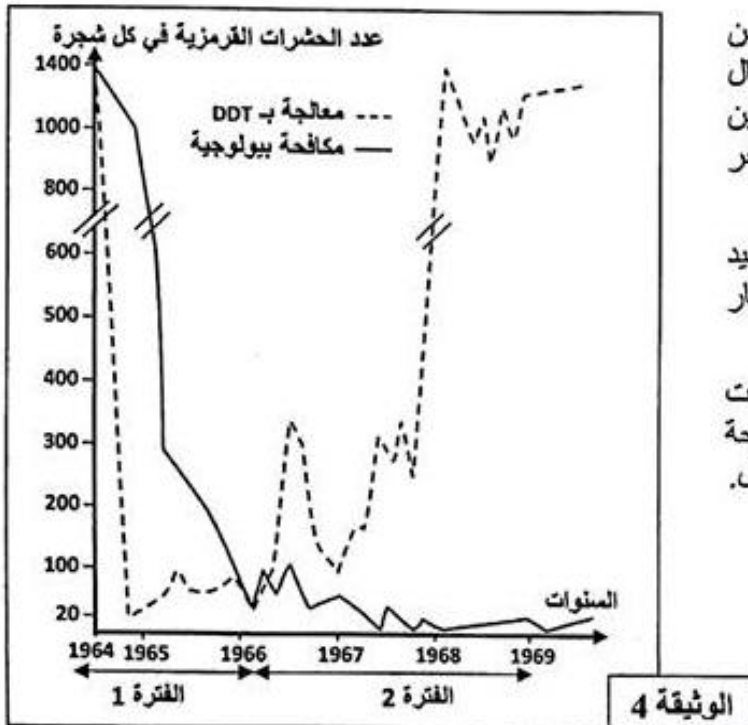


1. باستغلالك للوثائق 1 و 2 :
- ا- صف(ي) تطور تركيز المبيدات على مستوى المحطة S1 خلال فصول سنوي 2009 و 2010. (1 ن)
- ب- قارن(ي) درجة التلوث بالمبيدات في المحطتين S1 و S2 خلال فصول سنة 2010، ثم فسر(ي) الاختلاف الملاحظ. (0.75 ن)
- من أجل تحديد درجة تلوث بعض الكائنات الحية البحرية على مستوى خليج أكادير بنوع من المبيدات (Endosulfans)، تم تتبع تركيزه في أنسجة بلح البحر (رخويات ثانية الصدفة تتغذى انتلاقاً من ترشيح مياه البحر) بشاطئ انزا على امتداد فصل الصيف والخريف لسنة 2010. تقدم الوثيقة 3 النتائج المحصلة.

| الفصول                                  | صيف 2010 | خريف 2010 |
|---|----------|-----------|
| تركيز المبيد في مياه شاطئ انزا → ng/L   | 0.80     | 0.32      |
| تركيز المبيد في أنسجة بلح البحر → ng/Kg | 1920     | 985       |

الوثيقة 3

2. اعتماداً على معطيات الوثيقة 3، قارن (ي) تركيز المبيد في مياه شاطئ أنتا بتركيزه في أنسجة بلح البحر خلال فصل الصيف والخريف من سنة 2010، ثم فسر (ي) الفرق الملاحظ. (0.75 ن)



بحثاً عن حلول بديلة لحماية الأنظمة البيئية من الآثار السلبية للمبيدات المستعملة في المجال الزراعي، قام باحثون بتتبع تأثير طريقتين مختلفتين للمعالجة ضد الحشرة القرمزية المضرة بشجر البرتقال:

- ترتكز الطريقة الأولى على استعمال المبيد الحشري DDT بالنسبة لعينة أولى من أشجار البرتقال.

- ترتكز الطريقة الثانية على استعمال حشرات تتغذى على الحشرة القرمزية (المكافحة البيولوجية) بالنسبة لعينة ثانية من أشجار البرتقال.

تقدم الوثيقة 4 النتائج المحصلة.

3. اعتماداً على الوثيقة 4 وعلى مكتسباتك:

أ- حدد (ي) طريقة المعالجة الأكثر فعالية خلال الفترة 1 وخلال الفترة 2. علل (ي) إجابتك. (1ن)

ب- فسر (ي) تطور عدد الحشرات القرمزية في حالة المعالجة باستعمال المبيد الحشري DDT خلال الفترة 2. (0.5 ن)

4. اعتماداً على ما سبق وعلى معلوماتك استنتج (ي) الطريقة الملائمة لمعالجة أشجار البرتقال والمحافظة على الأنظمة البيئية على مستوى خليج أكادير. علل (ي) إجابتك. (1ن)